



## مقایسه روش‌های المان محدود و تفاضل محدود در بررسی معیار عددی دوران متوسط نووژیلو در ایران

رحیم جوادی آذر<sup>۱\*</sup>، بهزاد وثوقی<sup>۲</sup>

۱- دانشجوی کارشناسی ارشد زئودزی- دانشکده مهندسی نقشهبرداری- دانشگاه صنعتی خواجه نصیرالدین طوسی

۲- دانشیار گروه مهندسی زئودزی- دانشکده مهندسی نقشهبرداری- دانشگاه صنعتی خواجه نصیرالدین طوسی

### چکیده:

در این تحقیق به بررسی یک معیار عددی جدید به نام نووژیلو برای محاسبه دوران متوسط با دو روش تفاضل محدود و المان محدود در سیستم مختصات کارتزین پرداخته شده است. برای رسیدن به این هدف ابتدا تنسورهای استرین و دوران خطی، در سیستم مختصات کارتزین محاسبه شده و سپس معیار دوران متوسط نووژیلو با استفاده از مؤلفه‌های تنسورهای استرین و دوران خطی استخراج می‌شود. در این تحقیق از مشاهدات زئودتیکی (GPS) سال ۲۰۰۸ که در چهار ابوق سمه‌ماهه صورت گرفته، استفاده شده است. نتایج بدست آمده از معیار دوران متوسط نووژیلو در سیستم مختصات کارتزین نشان‌دهنده آن است که در روش تفاضل محدود بیشترین دوران راستگرد (۰/۹۵۱deg/Myr) در طول و عرض جغرافیایی تقریبی ( $27^{\circ}39'$  و  $62^{\circ}31'$ )، و همچنین بیشترین میزان دوران چپگرد (-۰/۴۵۵deg/Myr) در طول و عرض جغرافیایی تقریبی ( $29^{\circ}23'$  و  $56^{\circ}58'$ )، رخ داده است. نتایج حاصل از معیار دوران متوسط نووژیلو در سیستم مختصات کارتزین نشان‌دهنده آن است که در روش المان محدود نیز بیشترین دوران راستگرد (۱۲/۸۴۶deg/Myr) در طول و عرض جغرافیایی تقریبی ( $29^{\circ}$  و  $60^{\circ}$ )، و همچنین بیشترین میزان دوران چپگرد (-۰/۳۳۲deg/Myr) در طول و عرض جغرافیایی تقریبی ( $35^{\circ}41'$  و  $54^{\circ}29'$ )، رخ داده است. با مقایسه‌ای که بین نتایج دو روش و مطالعات قبل انجام گرفته، نتایج حاکی از برتری روش تفاضل محدود نسبت به روش المان محدود در محاسبه این معیار عددی می‌باشد.

**واژه‌های کلیدی:** تنسور استرین خطی، تنسور دوران خطی، معیار دوران متوسط نووژیلو



## ۱- مقدمه

یکی از کاربردهای گسترده آنالیز تغییرشکل در ژئودزی و ژئوپیونامیک آنالیز تغییرشکل زمین می‌باشد. در مکانیک محیط‌های پیوسته تغییرشکل عبارت است از هرگونه تغییر در شکل و ساختار هندسی یک جسم که می‌تواند شامل انتقال، دوران و یا تغییرشکل باشد. مدل محیط پیوسته مدلی است که دارای ویژگی‌های زیر باشد: اولاً این که توزیع ماده در داخل این محیط کاملاً پیوسته و در سرتاسر جسم در نظر گرفته می‌شود (محیط پیوسته). ثانیاً تمام روابط ریاضی که به توصیف وضعیت مکانیکی و تغییر در این وضعیت مکانیکی می‌پردازند، توابعی ترسوری از متغیرهای مکان و زمان در نظر گرفته می‌شوند.

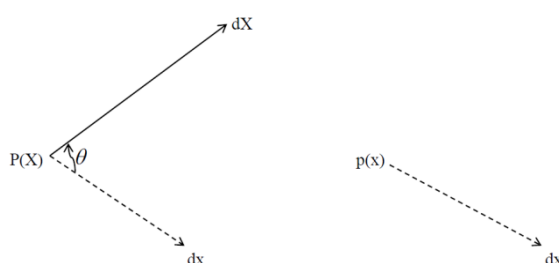
در سالیان اخیر، تکنیک‌های ژئودزی فضایی منابع جدید با دقت بالا و قابل اعتمادی از اطلاعات را جهت تعیین موقعیت ژئودتیک مهیا کرده است که جهت آشکارسازی و کمی‌سازی تغییرشکل‌های سطح زمین به کار رفته‌اند. ترکیب این مشاهدات با مدل‌های تحلیلی به بررسی مکانیزم گسل پرداخته است [۱].

نیلفروشان و همکاران در سال ۲۰۱۲ با استفاده از داده‌های GPS بین سال‌های ۱۹۹۷ تا ۲۰۱۱، سرعت افقی و میدان نرخ استرین در دریاچه وانن<sup>۱</sup> (در کشور سوئد) را محاسبه کردند [۲]. موسوی و همکاران در سال ۲۰۱۳ با استفاده از داده‌های ۴۷ ایستگاه GPS در شمال شرق ایران میدان سرعت را محاسبه نموده و با استفاده از آن به توصیف دوران صلب جنوب دریای خزر حول قطب اولر پرداختند [۳]. والپراسدورف و همکاران در سال ۲۰۱۴ با مطالعه ۹۲ ایستگاه GPS طی ۱۱ سال در قسمت شرق ایران، این منطقه را مورد تجزیه و تحلیل قرار دادند [۴]. آن‌ها با استفاده از این داده‌ها به مطالعه نرخ لغزش گسل در این مناطق و همچنین دوران بلوک‌ها پرداختند.

در این مقاله با استفاده از روابط خطی تنسورهای کرنش و دوران، و همچنین بردارهای سرعت بدست آمده از ایستگاه‌های سیستم تعیین موقعیت جهانی (GPS)<sup>۲</sup> موجود در منطقه مورد مطالعه، به محاسبه کرنش و دوران در سیستم مختصات کارتزین پرداخته می‌شود. سپس با استفاده مؤلفه‌های حاصل از تنسورهای کرنش و دوران به محاسبه یک معیار عددی جدید برای دوران متوسط به نام نووزیلو با دو روش المان محدود و تفاضل محدود پرداخته می‌شود. در نهایت هم مقایسه‌ای بین نتایج به عمل می‌آید.

## ۲- تئوری دوران متوسط نووزیلو

در شکل (۱) بردار  $dX$  در راستای  $X$  بعد از تغییرشکل به یک بردار جدید  $dx$  در راستای  $x$  تبدیل می‌شود. زاویه  $\theta$  که از دوران  $dX$  در طول تغییرشکل ایجاد می‌شود از رابطه (۱) بدست می‌آید [۵]:



شکل ۱: وضعیت جاری و مرجع بردار  $dX$

<sup>1</sup>Vanern

<sup>2</sup> Global Positioning System



$$\cos \theta = \frac{dX \cdot dx}{dXdX} = \frac{G_{KL} dX^K g_L^L dx^l}{dXdX} = \frac{g_{kl} dx^k g_L^l dX^L}{dXdX} \quad (1)$$

$dx$  و  $g_{kl}$ : تنسور متریک همگشت،  $dX^k$  و  $dX^L$  مختصات کارتزین بردارهای  $dX$  و  $dx$

اگر مقدار  $0 \leq \theta < \pi$  در نظر بگیریم، بردارهای واحد  $N$  و  $n$  در طول  $X$  و  $x$  در روابط زیر بدست می‌آید:

$$n^k = \frac{dx^k}{dx} \quad (2)$$

$$N^K = \frac{dX^K}{dX} \quad (3)$$

بنابراین می‌توان نوشت [۵]:

$$\cos \theta = G_{KL} g_L^L N^K n^l = g_{kl} g_L^l n^k N^L \quad (4)$$

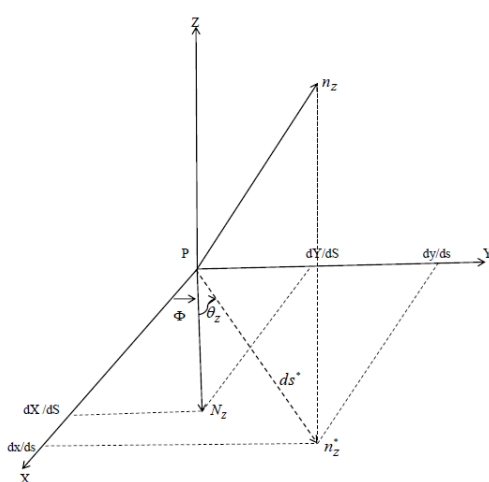
این رابطه را می‌توان بهطور کامل با استفاده از ترم‌های  $N^K$  و  $n^k$  نمایش داد، اگر رابطه (۱) بهصورت زیر نوشته شود:

$$\cos \theta = \frac{G_{KL} g_L^L x_{,M}^l (dX^K / dX)(dX^M / dX)}{dx / dX} \quad (5)$$

در معادله (۵) از رابطه  $\Lambda_{(N)} = \lambda_{(n)} = \frac{dx}{dX}$  استفاده شده است.

میزان دوران توضیح داده شده با رابطه (۵) پیچیده و دشوار است. در سال ۱۹۴۸ معياری برای دوران متوسط، توسط

آقای نووژیلو مطرح شد که اهمیت تنسورهای دوران  $\tilde{R}_{KL}$  و  $\tilde{r}_{kl}$  را نشان می‌دهد.



شکل ۲: تصویر دوران بردار  $N_z$  در صفحه



فرض کنیم  $N_z$  بردار واحد در صفحه  $XY$  از چهارچوب مرجع  $X, Y, Z$  در نقطه  $P$  باشد. بعد از تغییر شکل به  $n_z$  در  $P$  تبدیل می‌شود. حال اگر  $n_z$  را در صفحه  $XY$  تصویر نماییم، زاویه بین  $n_z$  و  $n_z^*$  از رابطه زیر بدست می‌آید [۵]:

$$\begin{aligned} \tan(\Phi + \theta_z) &= \frac{\tan \Phi + \tan \theta_z}{1 - \tan \Phi \tan \theta_z} = \frac{dy}{dx} \\ &= \frac{y_{,x} dX + y_{,Y} dY}{x_{,x} dX + x_{,Y} dY} \end{aligned} \quad (6)$$

با جایگزین کردن  $dX = ds \cos \Phi$  و  $dY = ds \sin \Phi$  خواهیم داشت:

$$\begin{aligned} \tan \theta_z &= \frac{y_{,x} \cos^2 \Phi + (y_{,Y} - x_{,x}) \sin \Phi \cos \Phi - x_{,Y} \sin^2 \Phi}{x_{,x} \cos^2 \Phi + y_{,Y} \sin^2 \Phi + (y_{,x} + x_{,Y}) \sin \Phi \cos \Phi} = \\ &= \frac{-\tilde{R}_{xy} + \tilde{E}_{xy} \cos 2\Phi + \frac{1}{2}(\tilde{E}_{yy} - \tilde{E}_{xx}) \sin 2\Phi}{1 + \frac{1}{2}(\tilde{E}_{yy} + \tilde{E}_{xx}) - \frac{1}{2}(\tilde{E}_{yy} - \tilde{E}_{xx}) \cos 2\Phi + \tilde{E}_{xy} \sin 2\Phi} \end{aligned} \quad (7)$$

قسمت دوم رابطه (7) با جایگذاری روابط زیر در قسمت اول بدست می‌آید:

$$y_{,x} = v_{,x} = \tilde{E}_{xy} - \tilde{R}_{xy} \quad (8)$$

$$y_{,Y} = 1 + v_{,Y} = 1 + \tilde{E}_{yy}, \dots \quad (9)$$

رابطه (7) در  $\Phi$  با پریود  $\pi$  متناوب است. بنابراین  $\theta_z$  در ناحیه  $0 \leq \theta \leq \pi$  بهجز در زوایای  $\theta_z = \pi$  و  $\theta_z = 0$  تعریف شده است. نووژیلو مقدار زیر را به عنوان میزان دوران معین نمود [۵]:

$$\langle \tan \theta_z \rangle = \frac{1}{2\pi} \int_0^{2\pi} \tan \theta_z(\Phi) d\Phi \quad (10)$$

با توجه به قسمت دوم رابطه (7) و (10) می‌توان نوشت [۵]:

$$\begin{aligned} \langle \tan \theta_z \rangle &= -\frac{1}{2\pi} \tilde{R}_{xy} \int_0^{2\pi} \left( \frac{d\Phi}{1 + \frac{1}{2}(\tilde{E}_{xx} + \tilde{E}_{yy}) + \frac{1}{2}(\tilde{E}_{xx} - \tilde{E}_{yy}) \cos 2\Phi} \right. \\ &\quad \left. + \tilde{E}_{xy} \sin 2\Phi \right) = \frac{-\tilde{R}_{xy}}{\sqrt{(1 + \tilde{E}_{xx})(1 + \tilde{E}_{yy}) - \tilde{E}_{xy}^2}} \end{aligned} \quad (11)$$

### ۳- روش المان محدود

در روش اجزای محدود، محدوده مساله به نواحی و محدوده‌های کوچک‌تر تقسیم می‌شود که آن‌ها را اجزاء و یا المان می‌نامند. المان‌های مجاور بدون همپوشانی بهم متصل می‌شوند بهنحوی که هیچ‌گونه فضای خالی بین المان‌های مجاور وجود نداشته باشد. شکل المان‌ها تا حد ممکن به ساده‌ترین شکل ممکن در نظر گرفته می‌شود. فرآیند



افرازبندی یک محدوده به مجموعه‌ای از المان‌ها، یعنی ایجاد شبکه، امروزه با استفاده از برنامه‌های رایانه‌ای، تا حد زیادی یک فرآیند خودکار محسوب می‌شود [۶].

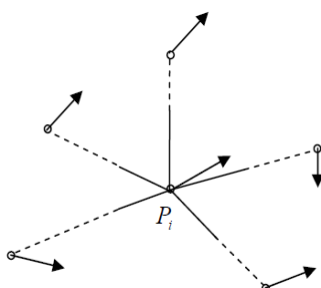
روش اجزای محدود به دنبال یک مدل آزمایشی است که به عنوان جواب تقریبی برایتابع ناشناخته به کار رود. مدلی که تنها به صورت تقریبی در معادله کلی و شرایط مرزی صدق نماید. مدل آزمایشی به شکل جمع تعداد متناهی از توابع به فرم کلی زیر ارائه و مورد استفاده قرار می‌گیرد [۶].

$$\begin{aligned}\tilde{U}(Q^J; A) = & F_0(Q^J) + A_1 F_1(Q^J) + \\ & A_2 F_2(Q^J) + \dots + A_N F_N(Q^J)\end{aligned}\quad (12)$$

در این رابطه،  $Q^J$  نشان‌دهنده تمامی متغیرهای مستقل موجود در مساله موردنظر است. توابع  $F_i(Q^J)$  توابع معلومی هستند که توابع آزمایشی و یا توابع پایه نامیده می‌شوند [۶]. در این روش با توجه به موقعیت رئوس موجود که به طور نامنظم، پخش شده‌اند سعی می‌شود تا حد امکان، مثلث‌ها، نزدیک به مثلث متساوی‌الاضلاع باشند. این روش افزار دارای جوابی منحصر به فرد است. به عبارت دیگر به ازای  $P$  نقطه، تنها یک مثلث‌بندی دلونی وجود دارد [۱]. با توجه به ویژگی‌های مثلث‌بندی دلونی، می‌توان آن را به عنوان بهینه‌ترین مثلث‌بندی از لحاظ هندسی معرفی کرد.

#### ۴- روش تفاضل محدود

در روش تفاضلی فرض می‌شود که مؤلفه‌های تغییر‌شکل در هر نقطه (ایستگاه شبکه) بوسیله نقاط مجاور که توسط مشاهدات به این نقطه متصل هستند، قابل تعریف می‌باشند. شکل (۳) نشان‌دهنده ساختار پایه در روش تفاضل محدود می‌باشد.



شکل ۳: ساختار پایه در روش تفاضلی محدود [۷].

در حالت سه‌بعدی می‌توان مؤلفه‌های بردارهای جابجایی مربوط به ایستگاه  $i$  را بصورت زیر نوشت [۷]:

$$\begin{aligned}u_i &= \left(\frac{\partial u}{\partial x}\right)_j x_i + \left(\frac{\partial u}{\partial y}\right)_j y_i + \left(\frac{\partial u}{\partial z}\right)_j z_i + a_j + r_{ji} \\ v_i &= \left(\frac{\partial v}{\partial x}\right)_j x_i + \left(\frac{\partial v}{\partial y}\right)_j y_i + \left(\frac{\partial v}{\partial z}\right)_j z_i + b_j + r_{ji} \\ w_i &= \left(\frac{\partial w}{\partial x}\right)_j x_i + \left(\frac{\partial w}{\partial y}\right)_j y_i + \left(\frac{\partial w}{\partial z}\right)_j z_i + c_j + r_{ji} \\ i &= 1, \dots, n+1 \\ j &= 1, \dots, m\end{aligned}\quad (13)$$



که در آن  $m$  تعداد کل نقاط شبکه،  $n$  تعداد نقاط متصل به نقطه  $j$  ام،  $u_i, v_i, w_i$  مقادیر ثابت،  $(a, b, c)^T_j$  مؤلفه های بردار باقیمانده های این جابجایی ها می باشند [۷].

$$\begin{aligned} u_i &= \hat{X}_i^{(2)} - \hat{X}_i^{(1)} \\ v_i &= \hat{Y}_i^{(2)} - \hat{Y}_i^{(1)} \\ w_i &= \hat{Z}_i^{(2)} - \hat{Z}_i^{(1)} \end{aligned} \quad (14)$$

و  $(\hat{X}_i^{(2)}, \hat{Y}_i^{(2)}, \hat{Z}_i^{(2)})$  مختصات های سرشکن شده نقطه  $i$  ام شبکه در دو مقطع زمانی اول و دوم هستند. در رابطه (۱۳) تمامی دوازده پارامتر دارای اندیس  $j$ ، مجھولات مسئله می باشند. همچنین در این رابطه ضرایب  $x_i, y_i, z_i$  از تفاضل مختصات نقطه  $j$  ام از مختصات  $i$  ام بدست می آیند. با نوشتن سه معادله فوق برای نقطه مورد نظر و نقاط مجاورش،  $3(n+1)$  معادله ماتریسی زیر بدست می آید:

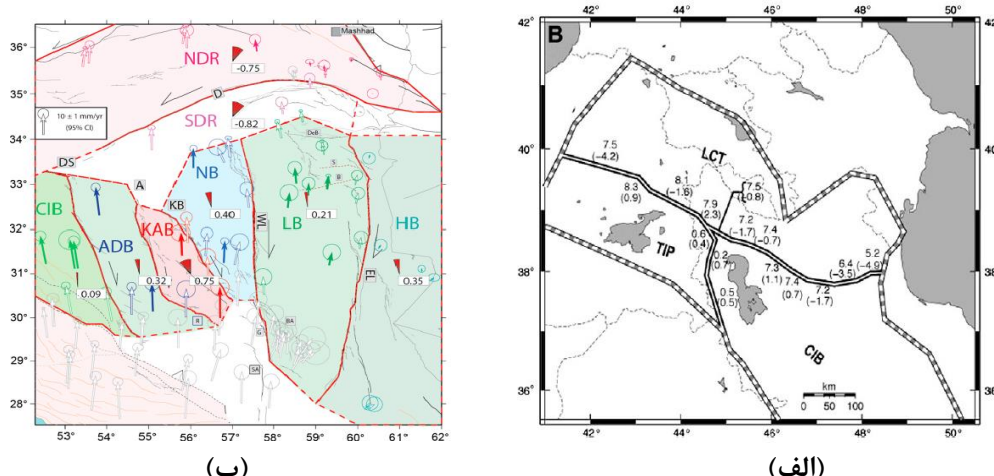
$$d_j = A_j X_j + r_j \quad (15)$$

که در رابطه فوق  $A_j$  ماتریس مربوط به نقطه  $j$  ام،  $X_j$  بردار پارامترهای تغییرشکل مجھول مربوط به این نقطه، برداری شامل جابجایی های مربوط به نقطه مورد نظر و نقاط مجاورش در دو مقطع زمانی مختلف و نیز بردار باقیمانده ها می باشد.

## ۵- منطقه مورد مطالعه

در این مقاله محدوده مورد مطالعه، کشور ایران بوده و از مشاهدات ژئودتیکی سال ۲۰۰۸ که در چهار اپوک سهماهه در مناطق مختلف کشور ایران در ایستگاه های GPS صورت گرفته، استفاده شده است.

تصویر نرخ لغزش گسل (mm/yr) در شمال غرب ایران در شکل (۴-الف) نمایش داده شده است. همچنین نرخ دوران بلوكها در شرق ایران در مرکز هر بلوك در شکل (۴-ب) توسط والپراسدورف و همکاران به نمایش درآمده است.

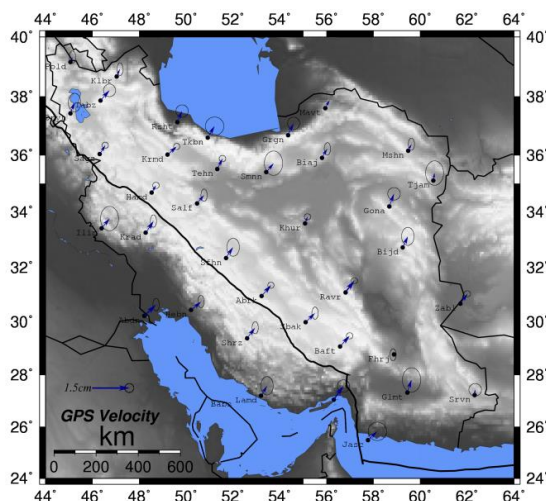


شکل ۴-الف: تصویر نرخ لغزش گسل (mm/yr) در شمال غرب ایران، عدهای بدون پرانتنز نرخ امتدادلغز هستند که علامت مثبت نشان دهنده راست گرد بودن می باشد [۸]. ب: نرخ دوران بلوك ها بر حسب درجه در میلیون سال در مرکز هر بلوك [۴].



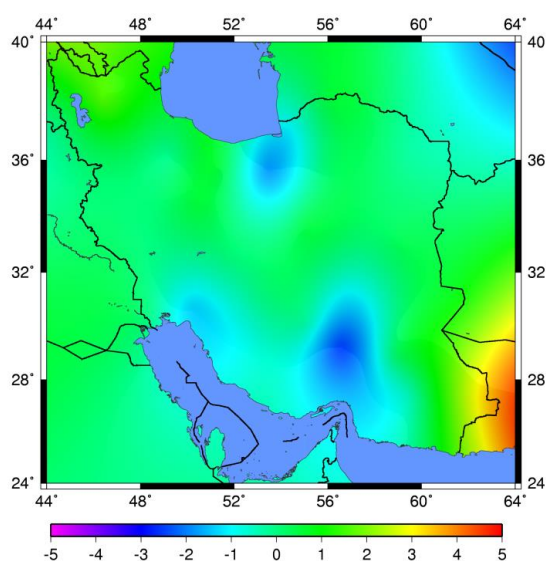
## ۶- نتایج عددی

مختصات ایستگاه‌ها به همراه میدان سرعت آن‌ها و تعیین میدان استرین مهمترین پارامترها در تعیین تغییرشکل سطحی پوسته می‌باشند. برآورد اولیه از میدان سرعت پوسته زمین مخصوصاً در مناطق زلزله‌خیز و در نزدیکی گسل‌ها می‌تواند اطلاعات با ارزشی را از ساختار ژئودینامیکی و نیز چگونگی فعالیت گسل‌ها در اختیار قرار دهد. امروزه این امر توسط ایستگاه‌های شبکه‌های ژئودینامیکی انجام می‌گیرد. با استفاده از مختصات ایستگاه‌ها و پردازش سری زمانی آن‌ها می‌توان به برآورد اولیه‌ای از میدان سرعت دست یافت. در ایران سازمان نقشه برداری کشور متولی پردازش و ارائه بردارهای سرعت مربوط به ایستگاه‌های شبکه ژئودینامیک می‌باشد. شکل (۵) بردارهای سرعت پوسته در منطقه ایران را نسبت به صفحه اوراسیا به همراه بیضی خطای ۹۵ درصد نشان می‌دهد.



شکل ۵: بردارهای سرعت در ایران با داده‌های مشاهدات ژئودتیک سال ۲۰۰۸.

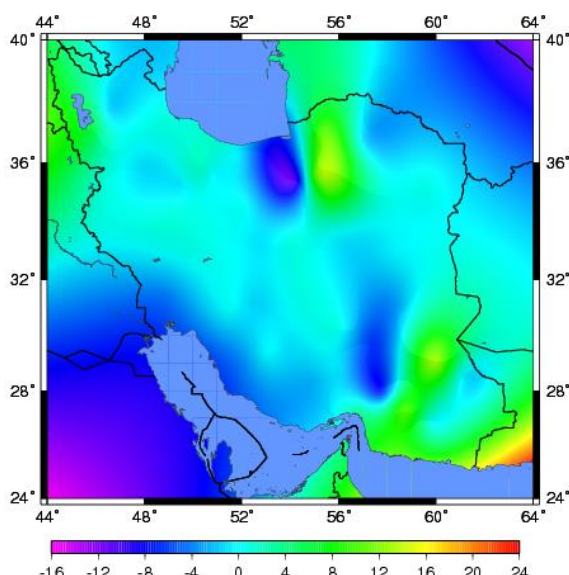
شکل (۶) معیار عددی دوران متوسط نووژیلو با روش تفاضل محدود را در سیستم مختصات کارتزین با استفاده از مشاهدات ژئودتیکی سال ۲۰۰۸ نشان می‌دهد.



شکل ۶: تصویر دوران حاصل از معیار عددی نووژیلو ( $\text{deg}/\text{Myr}$ ) در سیستم مختصات کارتزین با روش تفاضل محدود با استفاده از مشاهدات ژئودتیکی (GPS) سال ۲۰۰۸ که در چهار اپوک سه‌ماهه صورت گرفته (دوران مثبت نشانگر دوران ساعت‌گرد می‌باشد).



شکل (۷) معیار عددی دوران متوسط نووزیلو با روش المان محدود را در سیستم مختصات کارتزین با استفاده از مشاهدات ژئودتیکی سال ۲۰۰۸ نشان می‌دهد.



شکل ۷: تصویر دوران حاصل از معیار عددی نووزیلو (deg/Myr) در سیستم مختصات کارتزین با روش المان محدود با استفاده از مشاهدات ژئودتیکی (GPS) سال ۲۰۰۸ که در چهار اپوک سه‌ماهه صورت گرفته (دوران مثبت نشانگر دوران ساعت‌گرد می‌باشد).

از مقایسه دو شکل (۶) و (۷) با اشکال (۴-الف) و (۴-ب) مشاهده می‌شود که نتایج معیار دوران متوسط حاصل از روش تفاضل محدود تطابق بیشتری به نتایج مطالعات قبل که راجع به دوران بلوک‌ها در مناطق مختلف ایران و همچنین دوران در نقاط ایستگاه‌های GPS صورت گرفته، دارد.

## ۷- نتیجه‌گیری

مؤلفه‌های تنسور استرین و تنسور دوران خطی در سیستم مختصات کارتزین با دو روش المان محدود و تفاضل محدود با استفاده از مشاهدات ژئودتیکی سال ۲۰۰۸ محاسبه شد، و پس از آن معیار عددی دوران متوسط نووزیلو با هر دو روش استخراج گردید. نتایج حاصل نشان داد که روش المان محدود در کشور ایران برای محاسبه معیار عددی دوران متوسط نووزیلو نمی‌تواند روش خوبی محسوب شود. در نتایج نشان داده شد که محاسبه این معیار عددی با روش تفاضل محدود مطابقت بیشتری با نتایج مطالعات قبل دارد.

## مراجع

- [1] M. R. Jafari, “An Investigation in the Change of the Earth's Crust in Iran Using the GPS Results”, M. Sc. Thesis, K. N. Toosi University of Technology, 2009.
- [2] F. Nilfouroushan, P. Hodacs, H. Koyi, L. Sjoberg, “Geodetic horizontal velocity and strain rate fields around Lake Vanern (SW Sweden) derived from GPS measurements between 1997 and 2011.” Proc. EGU General Assembly Conference, 04/2012.
- [3] Z. Mousavi, A. Walpersdorf, R.T. Walker, F. Tavakoli, E. Pathier, H. Nankali, F. Nilfouroushan, Y. Djamour, “Global Positioning System Constraints on the active tectonics of NE Iran and the South Caspian Region.” Earth and Planetary Science Letters, 08/2013.
- [4] A. Walpersdorf, I. Manighetti, Z. Mousavi, F. Tavakoli, M. Vergnolle, A. Jadidi, D. Hatzfeld, A. Aghamohammadi, A. Bigot, Y. Djamour, H. Nankali, M. Sedighi, “Present-day kinematics and fault slip rates in eastern Iran, derived from 11 years of GPS data”, J. Geophys. Res. Solid Earth. 119, PP. 1359-1383, 2014.



- [5] A.C. Eringen, "Nonlinear Theory of Continuous Media." McGraw-Hill. New York, 1962.
- [6] B. Voosoghi, "Intrinsic Deformation Analysis of the Earth Surface Based on 3-Dimensional Displacement Fields Derived From Space Geodetic Measurements", PhD thesis, Institute of Geodesy, University at Stuttgart, 2000.
- [7] Z. Mousavi, "Regionalization and Extraction of Seismic Moment Rate in Iran Based on GPS Observation", M. Sc. Thesis, K. N. Toosi University of Technology, 2006.
- [8] Y. Djamour, P. Vernant, H. Nankali, F. Tavakoli, "NW Iran-eastern Turkey present-day kinematics: Results from the Iranian permanent GPS network", Earth and Planetary Science Letters, 370, 27-34, 2011.